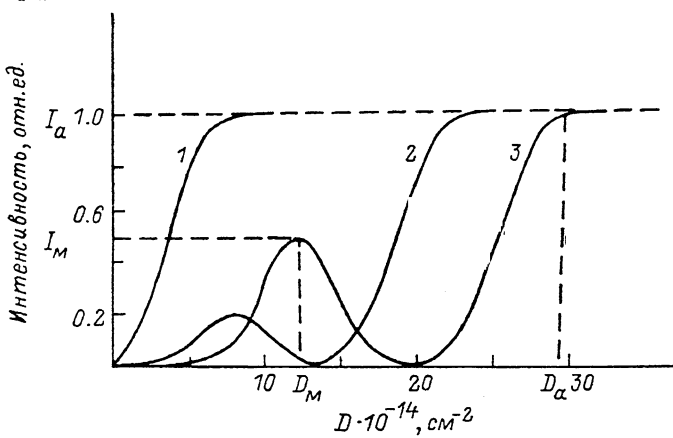


**АНОМАЛЬНАЯ ЗАВИСИМОСТЬ  
КОЭФФИЦИЕНТА ОТРАЖЕНИЯ Si  
ОТ ДОЗЫ ИМПЛАНТАЦИИ ИОНОВ  $\text{Ar}^+$  ПРИ  $T > 330$  К**

Жуковский П. В., Канторов С. Б., Кищак К.,  
Мончка Д., Стельмах В. Ф.

С целью определения температурной зависимости кинетики дефектообразования и аморфизации был поставлен эксперимент по «in situ»-измерению интенсивности света Не—Не-лазера ( $\lambda = 632.8$  нм), отраженного имплантируемой (100) поверхностью Si. Имплантация проводилась ионами  $\text{Ar}^+$  с  $E = 90$  кэВ, плотность ионного тока  $j = 0.5$  и  $1.5 \text{ мкA/cm}^2$ . Температура образцов менялась от 298 до 400 К. Направление пучка ионов под углом  $9^\circ$  к нормали образца исключало канализование. Перед имплантацией с образцов удалялся слой окисла.

Измерение интенсивности отраженного света уже использовалось для определения степени дефектности и момента перехода из кристаллического состояния в аморфное состояние имплантированного Si [1, 2].



**Рис. 1.** Зависимость интенсивности отраженного света от дозы ионов  $\text{Ar}^+$ .  
 $E = 90$  кэВ,  $j = 0.5 \text{ мкA/cm}^2$ .  $T, \text{К}: 1 - 298, 2 - 353, 3 - 373$ .

Использование методики в модифицированном варианте *in situ* позволило получать в отличие от [1, 2] зависимость накопления дефектов непосредственно в процессе имплантации и тем самым радикально повысить точность при сокращении объема экспериментов и увеличении объема получаемой информации.

При температурах имплантации  $T < 330$  К наблюдалась хорошо известные [1] зависимости интенсивности  $I$  отраженного света и связанной с ней степени дефектности от дозы ионов, а именно монотонный рост от значения  $I_0$ , характерного для исходного Si, до выхода на насыщение, соответствующего сплошной аморфизации имплантируемого слоя (рис. 1, кривая 1).

Однако при  $T > 330$  К нами обнаружено, что дозовая зависимость степени дефектности становится существенно отличной (рис. 1, кривые 2, 3). Это отличие заключается в том, что аморфизации предшествует немонотонное накопление дефектов. Степень дефектности возрастает, достигает максимума, а затем происходит ее уменьшение практически до исходного значения. При дозах  $D < D_m$  (рис. 1, кривые 2, 3) эффективный коэффициент введения дефектов уменьшается с ростом дозы, а при  $D > D_m$  становится отрицательным, т. е. имеет место не только подавление генерации новых дефектов, но и одновременное восстановление структуры кристалла.

Явление самовосстановления структуры имплантируемого слоя наблюдается в процессе имплантации низкой интенсивности в условиях, когда не происходит повышения температуры кристалла под действием пучка ионов.

Обращает на себя внимание тот факт, что дополнительный максимум степени дефектности появляется для  $j=0.5 \text{ мА/см}^2$  при температурах  $T > 330 \text{ К}$  одновременно с возрастанием дозы аморфизации (рис. 2, кривые 1, 3).

Для характеристики явления самовосстановления структуры имплантируемого слоя нами были изучены зависимости степени дефектности от температуры и плотности ионного тока. С ростом температуры максимум степени дефектности смещается в сторону больших доз (рис. 2, кривая 3), а его амплитуда увеличивается и при  $T \approx 380 \text{ К}$  достигает значения, характерного для сплошного аморфного слоя (рис. 2, кривая 5). Это означает, что, для того чтобы эффективный коэффициент введения дефектов стал отрицательным, с ростом температуры требуется большая концентрация дефектов (рис. 2, кривая 5). Увеличение

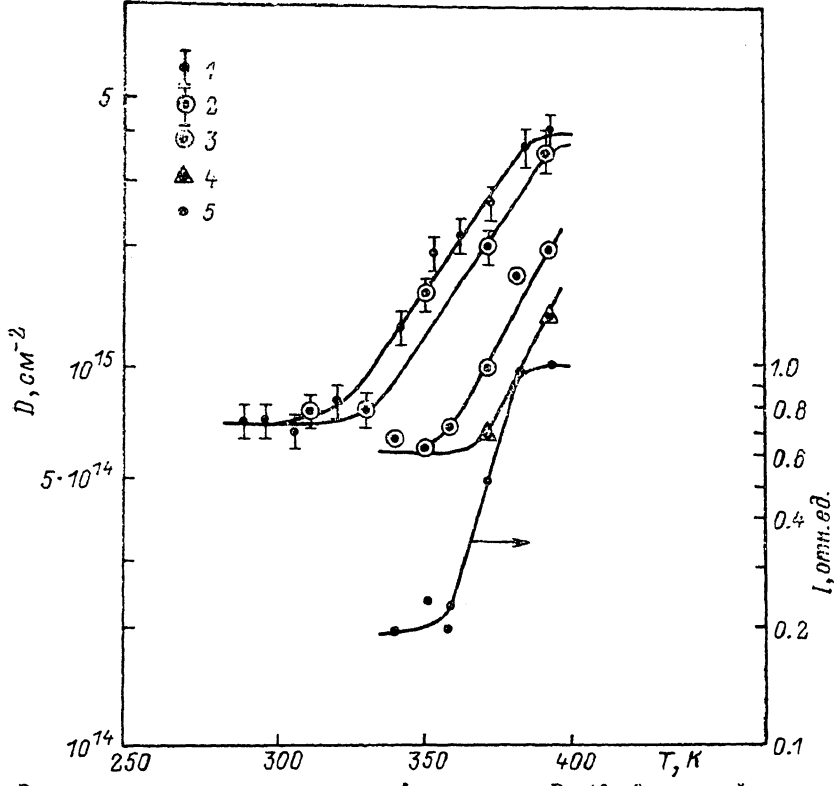


Рис. 2. Зависимость доз, соответствующих максимуму  $D_m$  (3, 4) и аморфизации  $D_a$  (1, 2). 1, 3 —  $D_m$  для  $j=0.5 \text{ мА/см}^2$ , 2, 4 —  $D_m$  и  $D_a$  для  $j=1.5 \text{ мА/см}^2$ , 5 — отношение интенсивностей в максимуме и при аморфизации  $I_m/I_a$  (масштаб справа) в зависимости от температуры.

ние плотности ионного тока до  $1.5 \text{ мА/см}^2$  приводит к смещению момента появления максимума на  $15-20 \text{ }^\circ\text{C}$  в сторону больших температур (рис. 2, кривая 4).

Явление самовосстановления наблюдалось также при имплантации ионов  $\text{Ne}^+$  и  $\text{Kr}^+$  с энергией  $90 \text{ КэВ}$ . В случае ионов  $\text{Ne}^+$  оно обнаружено на  $\sim 20 \text{ }^\circ\text{C}$  раньше, а для ионов  $\text{Kr}$  — на  $\sim 50 \text{ }^\circ\text{C}$  позже, чем для ионов  $\text{Ar}^+$ .

Объяснить явление самовосстановления исходя из традиционных представлений об отжиге и аннигиляции дефектов не представляется возможным, так как эти процессы могут привести единственно к стационарной концентрации дефектов в имплантируемом слое. Это явление, по-видимому, не определяется и радиационно-стимулированными процессами, так как повышение плотности ионного тока приводит к задержке его включения (рис. 2, кривая 4).

Не исключено, что обнаруженное нами явление самовосстановления структуры имплантированного слоя обусловлено возникновением динамических эффектов, которые могут проявляться в сильно дефектных и аморфных полупроводниках [3] и связаны с новым типом колебаний атомов, возбуждаемых прыжковой перезарядкой радиационных дефектов.

С явлением самовосстановления структуры имплантированного слоя в процессе имплантации малыми плотностями ионного тока следует считаться при выборе режимов и контроле технологического процесса ионного легирования, а установление его закономерностей позволит получить новые данные о перестройке дефектной структуры и взаимодействии радиационных дефектов в материалах электронной техники.

### Список литературы

- [1] Гусев Г. М., Стрельцов Л. Н., Старинин К. В., Хайбуллин И. Б. // ФТП. 1972. Т. 6. В. 6. С. 1191.
- [2] Masanobu M., Takao M., Takasini T. // Japan. J. Appl. Phys. 1978. V. 17. N 5. P. 955—956.
- [3] Zukowski P. W., Kantorow S. B., Maczka D., Stelmakh W. F. // Phys. St. Sol. (a). 1989. V. 112. P. 695—698.

Белорусский государственный университет  
им. В. И. Ленина  
Минск  
Университет им. М. Кюри-Склодовской  
ПНР, Люблин

Получено 2.04.1990  
Принято к печати 31.10.1990

ФТП, том 25, вып. 3, 1991

## РОЛЬ ОБМЕННОГО ВЗАИМОДЕЙСТВИЯ В ПЬЕЗОСПЕКТРОСКОПИЧЕСКИХ СВОЙСТВАХ ЭКСИТОНА, СВЯЗАННОГО НА АКЦЕПТОРЕ Sn В GaAs

Климакова Н. Н., Осипов Е. Б.,  
Осипова Н. А., Цветкова Е. В.

В работе [1] были исследованы пьезоспектроскопические характеристики примесной фотолюминесценции арсенида галлия, легированного оловом, вблизи энергии 1.507 эВ. Узкий пик излучения свидетельствует о рекомбинации экситона, связанного на акцепторном центре Sn<sub>As</sub>. Были изучены изменение с давлением положения линии люминесценции (ее расщепленных компонент), зависимость поляризационного отношения от давления, расщепление линии в магнитном поле и высказано предположение о существовании обменного взаимодействия дырок центра и экситона. Это предположение привлекалось лишь для объяснения наличия в спектре линии рекомбинации возбужденного состояния экситона (с полным моментом дырок  $F=2$ ), отстоящего от основного (с  $F=0$ ) на 1.3 мэВ. Однако детального исследования возбужденного состояния сделано не было. Объяснение экспериментальных данных работы [1] возможно и в предположении, что выполняется правило Хунда, т. е. основным является состояние с полным моментом дырок  $F=2$ . Поскольку для описания явления насыщения поляризационного отношения с давлением используется эффективная температура, превышающая температуру эксперимента, естественно предположить, что на центры действуют случайные поля, которые отщепляют состояние с проекцией момента дырок  $m_F=0$ . При этом внешнее магнитное поле расщепляет энергию связанного на акцепторе экситона лишь на два подуровня [1], соответствующих различным ориентациям спина электрона. Поэтому как магнитные, так и пьезоспектроскопические эксперименты [1] могут быть объяснены как в модели основного состояния с  $F=0$ , так и с  $F=2$  (причем для объяснения пьезоспектроскопических измерений не требуется предположений о случайных полях).

Энергия и волновая функция основного состояния двух дырок с учетом обменного взаимодействия в присутствии деформации имеют вид [2]